

# PROCESOS DE DISPERSIÓN A PARTIR DE MODELOS DE REACCIÓN ADVECTIVA NO LINEAL

## DISPERSIVE PROCESS FROM NONLINEAR ADVECTIVE REACTION

Mauro Montealegre Cárdenas\*  
Edgar Montealegre Cárdenas\*\*  
Jasmidt Vera Cuenca\*\*\*

### Resumen

Estudiamos procesos de dispersión ubicados en un espacio de Hilbert; resultando dos modelos sobre fenómenos mezclantes, advectivos y de reacción; probamos que sus ecuaciones variacionales tienen autovalor simple correspondiente a ondas viajeras estables. Luego expresamos los operadores en términos de proyecciones espectrales, logrando condiciones suficientes para la estabilidad.

**Palabras clave:** modelos de dispersión, advección no-lineal, onda viajera, velocidad de salto, ecuación de transporte.

### Abstract

We study the macroscopic dispersion process over a Hilbert space, which can give rise two models gives by mixing, nonlinear advection and reaction; we proved that its variational equations has simple autovalue which is a stable traveling waves. Then we can express the correspondents operators in terms of spectral projections, to reached sufficient conditions to ensure stability of its solutions.

**Key words:** models of dispersion, nonlinear advection, traveling wave, velocity jump, transport equation.

### Introducción

Este artículo de investigación corresponde al proyecto "Bifurcaciones y Aplicaciones Interdisciplinarias en los Sistemas Dinámicos Sobre Fenómenos Mezclantes con Reacción No-Lineal y Advección", en él explicamos los procesos dispersivos a nivel macro a través de modelos de transporte del tipo reacción y advección no lineales con explicación determinística, o a través de caminos aleatorios. El primero es una ecuación definida en un espacio de Hilbert dado por:

$$\frac{\partial u}{\partial t} + \frac{\partial(Bu)}{\partial x} = Au + f(u);$$

donde  $A$  es un operador sectorial, esto significa que tiene un autovalor  $\mu_0 = 0$  simple y aislado, y los otros autovalores están en un sector delimitado entre ángulos determinados;  $B$  es un operador lineal y autoadjunto, corresponde a la advección;  $f$  es una función no lineal. Para esta ecuación encontramos una solución del tipo onda viajera, por métodos análogos al modelo de difusión - reacción no lineal del tipo

$$\begin{cases} u_t = u_{xx} + F(u) \\ F(u) = u(u-a) \cdot (u-1) \quad \text{con } 0 < a < 1. \end{cases}$$

Demostramos que la variación espacial de la solución del tipo onda viajera corresponde a un autovalor simple  $\mu_0 = 0$ , la cual es estable.

Artículo recibido: 10/06/2009 Aprobado: 12/08/2009

\* Ph.D en Matemáticas Aplicadas; Grupo Dinusco, Facultad de Ciencia Exactas y Naturales, Universidad Surcolombiana, proyecto de investigación "Bifurcaciones y Aplicaciones Interdisciplinarias en los Sistemas Dinámicos Sobre Fenómenos Mezclantes con Reacción No-Lineal y Advección". E-mail: [mmontealegre.cardenas@gmail.com](mailto:mmontealegre.cardenas@gmail.com).

\*\* Mg. en Matemáticas Aplicadas; Grupo Dinusco, Facultad de Ciencia Exactas y Naturales, Universidad Surcolombiana. E-mail: [ingainco01@yahoo.es](mailto:ingainco01@yahoo.es)

\*\*\* Mg. en Matemáticas Aplicadas; Grupo Dinusco, Facultad de Ciencia Exactas y Naturales, Universidad Surcolombiana. E-mail: [jveracuenca@hotmail.com](mailto:jveracuenca@hotmail.com)

El modelo de explicación por un camino aleatorio se expresa mediante la siguiente ecuación de transporte,

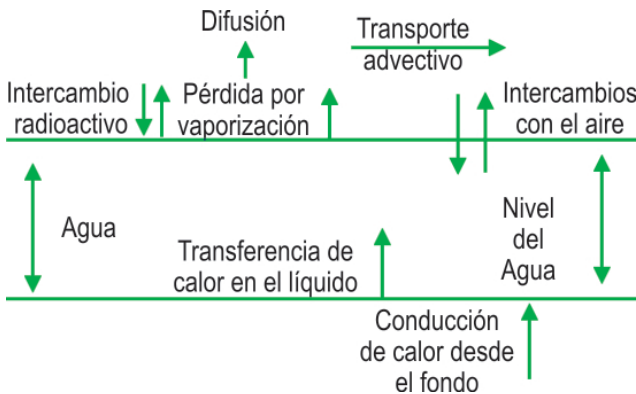
$$\frac{\partial u}{\partial t} + v \frac{\partial u}{\partial x} = -\lambda(v)u + \int_v T(v, v')\lambda(v')u(x, v', t)dv'.$$

Ecuación que explicamos en términos de operadores apropiados definidos en un espacio de Hilbert. El operador asociado a este modelo tiene también un autovalor  $\mu_0 = 0$ , el cual es simple, el resto de autovalores permiten expresar el operador como una suma de proyecciones en sus autoespacios.

En ambos casos en el límite, obtenemos modelos de Reacción - Difusión - Advectivos, los cuales tienen soluciones del tipo onda viajera, cuyas variaciones espaciales resultan estables.

### 1. Antecedentes

Podemos obtener un modelo básico consideramos el ejemplo de la contaminación en un entorno hídrico como el siguiente,



donde  $\Omega$  es la masa de agua con frontera  $\partial\Omega$ , la cual suponemos suave. La razón de cambio continuo de masa está dada por el flujo a través de  $\partial\Omega$ , la cual se resume en la siguiente ecuación de continuidad:

$$\frac{d}{dt} \int_{\Omega} u dv = - \int_{\partial\Omega} x \cdot \eta ds + \int_{\Omega} f dv$$

donde  $dv$  es la integral de volumen;  $ds$  es integral de superficie,  $\eta$  es la dirección normal a  $\partial\Omega$ ;  $x = -k\nabla u + \mu v$ , donde  $v$  es la velocidad intercambio con el medio.

Obteniendo la siguiente ecuación

$$\frac{\partial u}{\partial t} = \text{Difusión} - \text{Transporte} - \text{Decaimiento} + \text{fuente}$$

esto es,

$$\begin{cases} \frac{\partial u}{\partial t} = \text{gradiente} [-\alpha_u \nabla u] - \text{divergencia} [v \cdot u] - \sigma_u u + f(u) \\ u|_{\partial\Omega} = g, \end{cases}$$

la solución  $u(x, t) : \Omega \times \mathbb{R} \rightarrow \mathbb{R}$  es la concentración de contaminación.

Esto es,

$$u_t = \nabla(k \nabla u) - \text{div}(\mu v) + f(u)$$

En particular cuando  $q = -k \frac{\partial c}{\partial x}$ , donde  $q$  es el flujo y

$C$  es la masa, la razón de cambio de la masa es:

$$C_t = -DC_x(x - \Delta x, t) + DC_x(x + \Delta x, t)$$

esta conduce a la ecuación de difusión  $C_t = DC_{xx}$  equivalente a  $-\frac{\partial q}{\partial x} = \rho c \frac{\partial c}{\partial t}$ , en [Ga] se encuentra que la solución básica es

$$c(x, t) = \frac{1}{\sqrt{4\pi kt}} e^{-\frac{x^2}{4kt}}.$$

Siguiendo un modelo aleatorio se obtiene la siguiente ecuación de reacción y transporte:

$$u_t + v \nabla_x u + \lambda(v)u = h \int T(v, v')u(t, x, v')dv' + \frac{1}{|v|} f(\tilde{u})$$

con  $\tilde{u}(t, x) = \int_{\mathbb{V}} u(t, x, v)dv$ .

### 2. Un Caso Singular en $\mathbb{R}$

Consideramos modelos del tipo advectivo no lineal y difusión no lineal singular por cuanto  $\varepsilon \rightarrow 0$ , como el siguiente

$$\begin{cases} u_t = \varepsilon u_{xx} - (uw)_x, & x \in \mathbb{R}, t \geq 0 \\ w = \int_x^{+\infty} u(y)dy - \int_{-\infty}^x u(y)dy \end{cases}$$

donde la solución  $u(x, t)$  es una distribución de densidad y  $w$  es el campo de velocidades dada por la advección de los individuos. Si hacemos

$$M = \int_{-\infty}^{+\infty} u(y)dy \quad y \quad v = \int_{-\infty}^x u(y)dy$$

obtenemos el siguiente sistema:

$$\begin{cases} v_t = \varepsilon v_{xx} - v_x(M - 2v) \\ v \rightarrow 0 \text{ cuando } x \rightarrow -\infty; v \rightarrow M \text{ cuando } x \rightarrow +\infty \end{cases}$$

Cuya solución en estado de reposo es:

$$\varepsilon v_x = \frac{1}{2}v(M - v),$$

de lo cual se obtiene un estado de reposo  $v_0$  dado por

$$v_0(x) = \frac{M}{2} \left[ 1 + \tan \left( \frac{M}{4\varepsilon}(x - x_0) \right) \right]$$

para un valor inicial  $x_0$ ; con correspondiente solución  $u_0$  dado por

$$u_0(x) = \frac{M^2}{8\varepsilon} \operatorname{sech}^2 \left( \frac{M}{4\varepsilon}(x - x_0) \right).$$

Así que para  $\varepsilon > 0$  es un problema con valor inicial en  $L_p \mathbb{R}$  ( $p = 1, 2$ ).

Si  $\varepsilon = 0$ , con  $v(x, 0) = \tilde{v}(0)$ , obtenemos una solución por el método de las características de la forma

$$v = \tilde{v}(s)$$

donde

$$0 = s - x + t(M - 2\tilde{v}(s)),$$

$\tilde{v}$  desarrolla una discontinuidad de salto (shock) cuando

$$t = \inf_{s \in \mathbb{R}} \left\{ \frac{1}{2 \frac{d\tilde{v}}{ds}(s)} \right\}$$

### 3. Caso General

En  $X = H_0^1(\Omega) \subset L^2(\Omega)$ , consideramos un operador sectorial  $A: X \rightarrow X$  densamente definido en  $X$ ;  $B: X \rightarrow X$  un operador lineal autoadjunto;  $f: X \rightarrow X$  una función lineal lipschiziana.

Entonces para todo  $(x, t) \in \Omega \times \mathbb{R}^+$ , existe  $u(x, t)$  solución de (1) en  $H_0^1(\Omega) \subset L^2(\Omega)$  con valores propios distintos de  $\mu_0 \neq 0$  en

$$S_{\emptyset} = \left\{ z \in \mathbb{C} / \frac{\pi}{2} + \theta < \arg(z - \mu_0) < \frac{3\pi}{2} - \theta \right\}.$$

De

$$\begin{cases} \frac{\partial u}{\partial t} + \frac{\partial(Bu)}{\partial x} = A(u) + f(u) \\ x(t_0) = x_0 \end{cases} \quad (1)$$

En particular, para  $u_t + \nabla \cdot (\nabla u - D \nabla u) = f(u)$  en un intervalo  $(t_0, t_0 + T)$ , existe una solución del tipo

$$u(x, t) = e^{\sigma t + ikx}, g \text{ con } g \in X$$

De cuya sustitución obtenemos el siguiente problema de autovalores para  $f(u) \equiv 0$ ,

$$\sigma g + ikBg = Ag \quad (2)$$

$u$  es la solución de la ecuación de evolución para  $k$  pequeño y  $\sigma(k)$  ubicado tanto como sea posible, a la derecha en el plano complejo. En efecto, para obtener la solución asintótica de (2) usamos las expansiones

$$\begin{cases} \sigma = \sigma_0 + \sigma_1 k + \sigma_2 k^2 + \dots \in \mathbb{C} \\ g = g_0 + g_1 k + g_2 k^2 + \dots \in X \end{cases} \quad (3)$$

sustituyendo en (1) obtenemos:

$$\begin{cases} Ag_0 - \sigma_0 f_0 = 0 & \text{en el orden } k^0; \\ Af_1(k) - \sigma_0 f_1(k) = (\sigma_1 + iB)f_0(k) & \text{en el orden } k^1; \end{cases} \quad (4)$$

tenemos que  $\sigma_0 = \mu_0$ , es el autovalor de  $A$  y  $g_0$  es la autofunción correspondiente.

Para el  $k_1$ -orden, asumimos la alternativa de Fredholm para la condición de solubilidad

$$\langle g_0^*, (\gamma_0 + iB)f_0 \rangle = 0$$

y se obtiene

$$\begin{cases} w = i\gamma_1, \gamma_1 = iw, w = \frac{\langle g_0^*, Bg_0 \rangle}{\langle g_0^*, g_0 \rangle}, \\ g_1 = i(A - \mu_0 I)^{-1} \cdot (B - wI)g_0 \end{cases} \quad (5)$$

donde la inversa  $(A - \mu_0 I)^{-1}$  es restringida al complemento ortogonal del espacio generado por  $g_0$ .

De la misma manera para el orden  $k^2$  obtenemos

$$\begin{cases} Ag_2 - \sigma_0 = \sigma_2 g_0 + (\sigma_1 + iB)f_1 \\ \sigma_2 = \frac{\langle g_0^*, (B - wI)(A - \mu_0 I)^{-1}(B - wI)g_0 \rangle}{\langle g_0^*, g_0 \rangle} = -D^2 \end{cases} \quad (6)$$

Entonces  $w$  es finito y existe una solución real  $\tilde{u}(x, t)$  de la siguiente ecuación unidimensional

$$\frac{\partial \tilde{u}}{\partial t} = D^* \frac{\partial^2 \tilde{u}}{\partial x^2} - w^* \frac{\partial \tilde{u}}{\partial x} + \mu_0 C \quad (7)$$

tal que

$$\|u(x, t) - \tilde{u}(x, t)g_0\|_X \leq O\left(\frac{e^{\mu_0 t}}{t}\right),$$

si  $A$  es un operador autoadjunto, entonces  $D^*$  es finito.

En efecto

$$u(x, t) = \frac{1}{2\pi} \int_{-\infty}^{+\infty} a(k) e^{G(k)t + ikx} \cdot g(k) dk \quad (8)$$

donde  $a(k)$  es alguna función compleja; además  $(A - \mu_0 I)^{-1} |_{\langle g_0 \rangle^\perp}$  es negativamente definida (el espectro está sobre el eje real y a la izquierda de  $\mu_0$ ), y obtenemos:

$$D^* = \frac{-\langle (B - wI) \cdot g_0, (A - \mu_0 I)^{-1} \cdot (B - wI) \cdot g_0 \rangle}{\|f_0\|^2} \quad (9)$$

Dado que  $g_0 = g_0^*$ , entonces  $D^*$  existe y es positivo.

#### 4. Caso en $\mathbb{R}^2$

En [Gb] para el problema de reacción - difusión mezclante se tiene que

$$\begin{cases} \frac{\partial u}{\partial t} + \frac{\partial}{\partial x}(Bu) = Au + f(u) \\ u \in C^1(\Omega \times \mathbb{R}^+, X), \Omega \text{ abierto de } \mathbb{R}^2 \end{cases} \quad (10)$$

donde  $X$  es un espacio de Hilbert,  $A : D(A) \subset X \rightarrow X$  un operador sectorial;  $B : X \rightarrow X$  un operador lineal autoadjunto;  $f : X \rightarrow X$  dado por  $f(u) = u(u-a)$  ( $u-1$ ) con  $0 < a < 1$ .

En particular para

$$A = \begin{pmatrix} -a_1 & a_2 \\ a_1 & -a_2 \end{pmatrix}, \quad B = \begin{pmatrix} b_1 & 0 \\ 0 & b_2 \end{pmatrix}$$

con  $b_1 \neq b_2$ , más exactamente  $b_1 = 2 + b_2$  para coordenadas viajeras  $z = x - (c + b^1 - 1)t$ , con  $U' = \frac{\partial U}{\partial z}$  obtenemos la siguiente ecuación diferencial ordinaria

$$\begin{pmatrix} 1-c & 0 \\ 0 & -1-c \end{pmatrix} U' = AU + f(U)$$

$U = (U_1, U_2)^T, f(U) = (F(U_1), 0)^T$ , esto es:

$$\begin{cases} (1-c)U_1' = a_2 U_2 - a_1 U_1 + F(U_1) \\ (-1-c)U_2' = a_1 U_1 - a_2 U_2 \end{cases} \quad (11)$$

Diferenciando en la primera ecuación y reemplazando en la segunda obtenemos:

$$0 = \frac{1}{a_2} (1-c^2) U_1'' + U_1' \left( \frac{c(a_1 + a_2) + a_1 - a_2}{a_2} - \frac{1}{a_2} (1+c) F_U(U_1) \right) + F(U_1) \quad (12)$$

Una ecuación diferencial obtenida por cambio de variable del tipo onda viajera  $z = x - \eta t$  para algún  $\eta$  es sustituida en el problema de reacción - difusión escalar

$w_t = \omega_{xx} + F(\omega)$ , con  $F(\omega) = \omega(\omega-1)(\omega-a)$  con  $0 < a < 1$ .

La ecuación diferencial ordinaria (12) tiene este tipo de solución para  $\eta = \sqrt{2(1/2 - a)}$  [Ga] y esta es dada por

$$U_1(z) = \varnothing_1(z) = \left(1 + \exp\left(-z/\sqrt{\theta}\right)\right)^{-1}, \quad z = x - \eta t \quad (13)$$

Solución que satisface  $\varnothing_1 \rightarrow 0$  cuando  $z \rightarrow -\infty$  y  $\varnothing_1 \rightarrow 1$  cuando  $z \rightarrow +\infty$ .

En (12), si hacemos  $a_1 = a_2$  con  $y = \frac{z}{\sqrt{2(1-c^2)}}$  obtenemos

$$0 = U_1'' + U_1' \frac{(2c - 2(1+c)F_U(U_1))}{\sqrt{2(1-c^2)}} + F(U_1) \quad (14)$$

**Teorema 1.**  $U_{1z}(z)$  es una solución estable del linealizado de (14) en torno de  $U_1(z)$  en  $L_2(\mathbb{R})$ .

*Prueba.* El linealizado alrededor de  $\varnothing_1(z)$  para (14) es

$$-AU_1 = U_{1zz} + U_{1z} \frac{[2c - 2(1+c)F_U(\varnothing_1)]}{\sqrt{2(1-c^2)}} + F_U(\varnothing_1)U_1 \quad (15)$$

además  $U_{1z}$  es solución de  $-AU_1 + \lambda U_1 = 0$  para  $\lambda = 0$ .

Al variar  $\lambda$  en el plano complejo puede existir un corte con el eje imaginario en  $(ik)$ , así que el polinomio característico asociado con (15) es:

$$\lambda = -k^2 + ik \frac{[2c - 2(1+c)F'(\varnothing_1)]}{\sqrt{2(1-c^2)}} + F'(\varnothing_1) \quad (16)$$

de donde se deduce:

$$\begin{cases} \operatorname{Re}(\lambda) = -k^2 + F'(\varnothing_1) \\ \operatorname{Imag}(\lambda) = k \left[ \frac{2c - 2(1+c)F'(\varnothing_1)}{\sqrt{2(1-c^2)}} \right] \end{cases}; \quad (17)$$

esto es,

$$\operatorname{Re}(\lambda) = \left[ \frac{\operatorname{Imag} \sqrt{2(1-c^2)}}{2c - 2(1+c)F'(\varnothing_1)} \right]^2 + F'(\varnothing_1) \quad (18)$$

Así que el espectro esencial de  $A$  está a la derecha de la parábola (18); más específicamente derivando  $f(\varnothing_1) = \varnothing_1(\varnothing_1 - a)(\varnothing_1 - 1)$ , cuando  $0 < a < 1$ ; y teniendo en cuenta que  $\varnothing_1 \rightarrow 0$  cuando  $z \rightarrow -\infty$ , entonces  $f'(\varnothing_1) \rightarrow a$ ; también  $f'(\varnothing_1) \rightarrow 1 - a$  porque  $\varnothing_1 \rightarrow 1$  cuando  $z \rightarrow +\infty$ .

Así dicho espectro esencial para las ondas viajeras en el infinito está a la derecha del mín  $\{a, 1 - a\}$ .

Ahora consideremos los auto valores  $\lambda$  de  $A$ , resulta que si  $\operatorname{Re}(\lambda) \leq 0$  para alguna solución  $v$  del problema de valores propios

$$-Av + \lambda v = v'' + v' \left[ \frac{2c - 2(1+c)F'(\varnothing_1)}{\sqrt{2(1-c^2)}} \right] \quad (19)$$

$$+ F'(\varnothing_1)v + \lambda v, \quad \text{con } 0 < c < 1;$$

de (13) tenemos que  $v \in L^2(\mathbb{R})$  decae hacia cero al menos como  $O(e^{-cz})$  y por ello

$$y(z) = v(z) \cdot e^{\frac{c}{2}z} \quad (20)$$

decae exponencialmente cuando  $|z| \rightarrow \infty$ .

Observamos que  $y(z)$  satisface el siguiente problema autoadjunto,

$$y_{zz} + \left( f'(\varnothing_1) + \angle - \frac{c^2}{4} \right) y = 0, \quad z \in \mathbb{R}$$

con  $y \rightarrow 0$  cuando  $|z| \rightarrow 0$ . Así que  $\angle \in \mathbb{R}^+$ .

## 5. Modelos con Velocidad de Salto Aleatorio

Surge en poblaciones o distribuciones de partículas cuyos saltos son controlados por procesos de Poisson; en estos casos aproximamos la difusión mediante la siguiente ecuación de transporte:

$$\frac{\partial p}{\partial t}(x, v, t) + v \cdot \nabla P(x, v, t) = \quad (21)$$

$$-\lambda P(x, v, t) + \lambda \int_V T(v, v') P(x, v', v) dv'$$

donde  $P(x, v, t)$  es densidad de partículas en  $x \in \Omega \subseteq \mathbb{R}^n$ ,  $v \in V \subset \mathbb{R}^n$ , para  $t \geq 0$  es la velocidad del movimiento;  $\lambda$  es la razón de retorno cambio de velocidad ( $\frac{1}{\lambda}$  la distancia media entre saltos).

$T(v, v')$  es la probabilidad de que la velocidad de salto cambie de  $v'$  para  $v$ , para ello se exige que  $\int_V T(v, v') dv = 1$ .

Sea  $K$  un cono de funciones en  $L^2(V)$ , y para cada  $(x, t)$  definimos el operador

$$\tau P = \int_V T(v, v') P(x, v', t) dv'$$

con adjunto

$$\tau^* P = \int_V T(v', v) P(x, v', t) dv'$$

Si damos la hipótesis de que

$$u_0(v) \varnothing(v') \leq T(v', v) \leq u_0(v) \psi(v')$$

Para algunos  $\varnothing, \psi \in K$  no nulos en un conjunto de medida cero,  $u_0 \neq 0$ ; además suponemos que  $\|\tau\|_{\langle 1 \rangle^\perp} < 1$  con  $\langle 1 \rangle^\perp$  es el subespacio igual al complemento ortogonal de  $\langle 1 \rangle$  en  $L^2(V)$ .

Entonces  $\tau, \tau^*: K \rightarrow K$ , dado que 1 es el único autovalor simple positivo correspondiente a  $u_0$ .

Llamamos al operador  $\mathcal{L} P(v) = -\lambda P(v) + \lambda \tau P(v)$ , así éste operador se puede factorizar como

$$\mathcal{L} = G.H$$

$$\text{con } \begin{cases} Hw = \lambda(v)w(v), \\ G(y(v)) = -y(v) + \int_V T(v, v')y(v')dv', \end{cases}$$

Además cero es el único  $\mathcal{L}$  autovalor positivo de  $u_0(v) \equiv 1$ ; por (21) los otros autovalores  $\mu$  son tales que  $-2\lambda < \text{Re}\mu < 0$ . Si  $\lambda(v)$  es nula en un punto de  $\Omega$ , la inversa de  $H$  es no acotada.

El Kernel de  $\mathcal{L}$ ,  $\mathcal{N}(\mathcal{L})$ , contiene un conjunto ortogonal completo si  $\mathcal{L}$  es simétrico, y obtenemos  $L^2(V) = \langle 1 \rangle \oplus \langle 1 \rangle^\perp$ ; por ello para  $\mu_j \neq 0, j \geq 2$ , tenemos proyecciones

$$P_j : V \longrightarrow V$$

las cuales descomponen ortogonalmente el operador  $\mathcal{L}$  así:

$$\mathcal{L} = \sum_{j=2}^{\infty} \mu_j P_j$$

Para el caso particular para el cual  $x \in \Omega \subseteq \mathbb{R}$ ,  $P(x, v, t) \in \mathbb{R}$  en (21), podemos solucionar la ecuación (21) usando transformadas de Fourier del tipo

$$P(x, v, t) = e^{\sigma(k)t + Lkx} \cdot g(v) \text{ con } g \in L_2(\mathbb{R}) \quad (22)$$

Reemplazamos (22) en (21) como en (2) - (9), garantizamos la existencia de cantidades finitas  $v^*$  y  $D^*$  en

$$\sigma(k) = -ikv^* - D^*k^2 + \dots,$$

con

$$v^* = \frac{\int_{V \text{ mín}}^V \frac{T(v)}{\lambda(v)} d\tilde{v}}{\int_{V \text{ mín}}^V \frac{T(v)}{\lambda(v)} d\tilde{v}}, \quad D^* = \frac{\int_{V \text{ mín}}^V (V^* - V) \frac{T(v)}{\lambda(v)} d\tilde{v}}{\int_{V \text{ mín}}^V \frac{T(v)}{\lambda(v)} d\tilde{v}}$$

y obtenemos una solución  $\tilde{P}$  de la siguiente ecuación de difusión - advectiva:

$$\frac{\partial \tilde{P}}{\partial t} = D^* \frac{\partial^2 \tilde{P}}{\partial x^2} - V^* \frac{\partial \tilde{P}}{\partial x} \quad (23)$$

$$\text{con } |P(x, v, t) - \tilde{P}(x, v, t)g_0(v)| < O(1/t).$$

En el caso unidimensional en (21), adimensionamos las variables siguientes

$$u = \frac{v}{s}, \quad \xi = \frac{x}{L}, \quad \tau = \frac{t}{\sigma}$$

con  $s$  la velocidad característica. Haciendo  $\frac{L}{s} = O(1/\varepsilon)$  y  $\frac{L^2\lambda}{s^2} = O(1/\varepsilon^2)$  tenemos que (21) se transforma en (24),

$$\varepsilon^2 \frac{\partial P}{\partial \tau} + \varepsilon v \nabla P = -\lambda P + \lambda \int_V T(v, v') P(\xi, v', \tau) dv'$$

con  $\tau = \varepsilon^2 t, \xi = \varepsilon \frac{x}{s}, v \in V, \xi \in \mathbb{R}$  con  $\tilde{\Omega} = \frac{\varepsilon \Omega}{s}$ .

Asumimos que (24) tiene soluciones expandidas en términos de  $\varepsilon$ ,

$$P(\xi, v, \tau) = \sum_{i=0}^k P_i(\xi, v, \tau) \varepsilon^i + \varepsilon^{k+1} P_{k+1}(\xi, v, \tau)$$

obtenemos un sistema según el orden de  $\varepsilon$ , así:

$$\varepsilon^0 : \mathcal{L}P_0 = -\langle P_0 + \int_V T(v, v') P_0(\xi, v', \tau) dv' = 0$$

$$\varepsilon^1 : \mathcal{L}P_1 = v \cdot \nabla P_0$$

$$\varepsilon^2 : \mathcal{L}P_2 = \frac{\partial P_0}{\partial \tau} + v \cdot \nabla P_1$$

$$\varepsilon^i : \mathcal{L}P_i = \frac{\partial P_{i-2}}{\partial \tau} + v \cdot \nabla P_{i-1} \text{ para } 3 \leq i \leq k+1$$

usando condiciones de solubilidad para las distintas potencias  $\varepsilon^j$  obtenemos que

$$\mathfrak{I} = (\mathcal{L}|_{\langle 1 \rangle^\perp})^{-1} = \sum_{j=2}^{\infty} \frac{P_j}{\mu_j}$$

$$\text{porque } \begin{cases} P_1 = \mathcal{L}(v \cdot \bar{v} P_0) \\ \int_V \left[ \frac{\partial P_0}{\partial \tau} + v \cdot \bar{v} (\mathfrak{I}(v \cdot \nabla P_0)) \right] dv = 0, \end{cases}$$

esto es,

$$\frac{\partial P_0}{\partial \tau} - \nabla(D \bar{v} P_0) = 0 \text{ con } D = -\frac{1}{|v|} \int_V v \mathfrak{I} v dv.$$

En sistemas dinámicos sobre dinámica de poblaciones  $P(x; t)$ , el modelo (21) se puede generalizar así:

$$P_t + s \nabla_x P + \lambda P = \lambda \int_V T(v, v') P(t, x, v') dP' + \frac{1}{|v|} \left\{ m(\tilde{P}) \tilde{P} - g(\tilde{P}) \tilde{P} \right\} \quad (25)$$

$$\text{con } \tilde{P}(t, x) = \int_V P(t, x, v) dv.$$

Si hacemos  $f(P) = m(P)P - g(P)P$ , vemos que el sistema (25) acopla una ley de conservación con el flujo del gradiente:

$$\begin{cases} P_t + dQ = f(P) \\ \tau Q_t + D\text{grad}(Q) - h(P)Q = 0 \end{cases};$$

un caso fácil de resolver es el caso límite  $\tau = 0$ .

**Ejemplo 1.** Sea  $V = sS^{n-1}$ ,  $T(v, v') = \frac{1}{|V|}$  con  $\chi$  constante; se puede encontrar que  $\mathfrak{S}$  es  $-\chi^{-1}$ .

**Ejemplo 2.** El sistema parabólico de Patlak - Keller - Segel, P.K.S en [K-Se] es dado por

$$\begin{cases} u_t = \nabla(D\nabla u - \chi(S)\nabla Su) \\ \theta S_t = B\Delta S + f(S, u) \end{cases}$$

y describe la propagación poblacional donde:  $u(x, t)$  es la densidad poblacional;  $S(x, t)$  son los efectos externos; el signo  $\chi(S) \geq 0$  depende de la especie;  $f(S, u)$  es la propagación espacial. Como  $\theta \geq 0$  se observa que  $u$  y  $S$  se desarrollan en diferentes escalas temporales.

En [Hi-St] se da la siguiente alternativa unidimensional hiperbólica a partir de caminos aleatorios, donde  $u^\pm, \chi^\pm$  se refieren a movimientos hacia la derecha o hacia la izquierda:

$$\begin{cases} u_t^+ + (\tau(s)u^+)_x = -\lambda^+(S, S_x)u^+ + \lambda^-(S, S_x)u^- \\ u_t^- - (\tau(s)u^-)_x = \lambda^+(S, S_x)u^+ - \lambda^-(S, S_x)u^- \\ \theta S_t = BS_{xx} + f(S, u^+ + u^-); \end{cases}$$

vía el cambio de variables  $u(x, t) = u^+(x, t) + u^-(x, t)$ ,  $j = v(u^+ - u^-)$  obtenemos el sistema

$$\begin{cases} \frac{\partial u}{\partial t} + \frac{\partial j}{\partial x} = 0 \\ \frac{\partial j}{\partial t} + 2\lambda j = -V^2 \frac{\partial u}{\partial x} \end{cases}$$

con condiciones iniciales  $u(x_0) = u_0(x)$ ,  $j(x_0) = j_0(x)$ ; y de este último sistema se obtiene la ecuación del telégrafo

$$\frac{\partial^2 u}{\partial t^2} + 2\lambda \frac{\partial u}{\partial t} = v^2 \frac{\partial^2 u}{\partial x^2}.$$

## Conclusiones

1. Encontramos que las soluciones del tipo de ondas viajeras para el primer modelo son estables, análogo a lo que sucede en la ecuación de Reacción-Dispersión No-Lineal.
2. Para el segundo modelo, el cual proviene de difusión aleatoria, también tiene una solución estable asociado al valor propio simple  $u_0 = 0$ .
3. En ambos casos resulta muy útil el método espectral de la transformada de Fourier.
4. Los dos modelos pueden provenir de: los procesos de crecimiento poblacional, dispersión de procesos ambientales, propagación de enfermedades, entre otros. Estos modelos corresponde a procesos interdisciplinarios.

## Referencias

- [Ga] Grindrod, Peter. *Patterns and Waves: The Theory and Applications of Reaction - Diffusion Equations*. Oxford: OUP, 1995.
- [G-I] Grindrod, Peter, and Michael Impey. "Channeling and Fickian Dispersion in Fractals Simulated Porous Media". *Water Resources Research* Vol: 29 No. 12 (1993): 4077-4089.
- [Gb] Grindrod, Peter. "On Models of Dispersion at Macroscopic Scales". *Bath Institute for Complex Systems* preprint 15/06 (2006), [http://www.bath.ac.uk/math-sci/bics/preprints/BICS06\\_15.pdf](http://www.bath.ac.uk/math-sci/bics/preprints/BICS06_15.pdf).
- [He-O] Hellen, Thomas, and Hans G. Othmer. "The Diffusion Limit of Transport Equation Derive from Velocity-Jump Processes". *SIAM J. APPL. MATH.* Vol: 61 No 3 (2000): 751-775.
- [Ha-Mu] Hadeler, Peter, and Johannes Muller. "Dynamical Systems and Population Dynamics". *Ergodic Theory Analysis and Efficient*

- Simulation of Dynamical Systems*, editado por Bernold Fiedler. Berlin: Springer, 2001.
- [Ma] Madzvamuse, Anotida. "A Modified Backward Euler Scheme for Advection-Reaction-Diffusion Systems". *Mathematical Modeling of Biological Systems* Volume I, Andreas Deutsch, Lutz Brusch, Helen Byrne, Gerda de Vries and Hanspeter Herzel (eds). Boston: Birkhuser, 2007, 191-197.
- [K-Se] E.F. Keller and L.A. Segel. "Model for Chemotaxis". *Journal of Theoretical Biology* Vol. 30 No. 3 (1971): 225-234.
- [Hi-St] Hillen, Thomas, and A. Stevens. "Hyperbolic Models for Chemotaxis in 1-D". *Nonlinear Analysis: Real World Applications* Vol. 1 No. 3 (2000): 409-433.
- [W-Je] H. Willianms, and O.E. Jeuseu. "Two-dimensional nolinear advection diffusion in a model of surfactant spreading on a thiu liquid film". *IMA Journal of applied Mathematics*, Vol. 66 No.1 (2001). pp. 55-88.